

straviwood
by CDM Stravitec

SCAN ME

Scannez ici pour accéder à la page web de la solution et plus encore

# Straviwood WallBreak-P

## Fiche technique

Le Straviwood WallBreak-P est un plot résilient conçu pour améliorer les performances acoustiques des constructions en CLT, en limitant la transmission latérale du son à travers les murs lorsque le transfert de charge discontinu vers la dalle est permis. En réduisant les liaisons rigides et les surfaces de contact entre les éléments structurels, il contribue à contrôler les vibrations et le bruit solidien.

## AVANTAGES

- Idéal pour le découplage mur-plancher dans les constructions en CLT
- Convient à tous les matériaux à base de bois
- Installation simple, aucun outillage supplémentaire requis
- Peut être collé au mur CLT sur le site ou en usine
- Gamme de matériaux à forte capacité de charge, offrant un large éventail de charges de travail
- Excellent comportement à long terme (faible fluage / déflexion différentielle)
- Epaisseurs standard de 20 mm
- Largeurs adaptables aux dimensions du mur
- La conception avec plots discrets minimise la surface de contact entre les éléments structurels, réduisant les voies de transmission acoustique latérale
- Plan d'installation détaillé disponible sur demande
- Surface à forte adhérence (coefficient de friction ≥ 0,5) minimisant le risque de glissement lors de l'installation et pendant la durée de vie
- En option : l'espace entre les patins peut être rempli de laine minérale dense et légère (sur site ou en usine)

Afin de définir la solution Straviwood WallBreak-P appropriée, nos ingénieurs devront connaître les performances acoustiques requises, le type et les dimensions du mur, ainsi que les charges permanentes et d'exploitation appliquées.



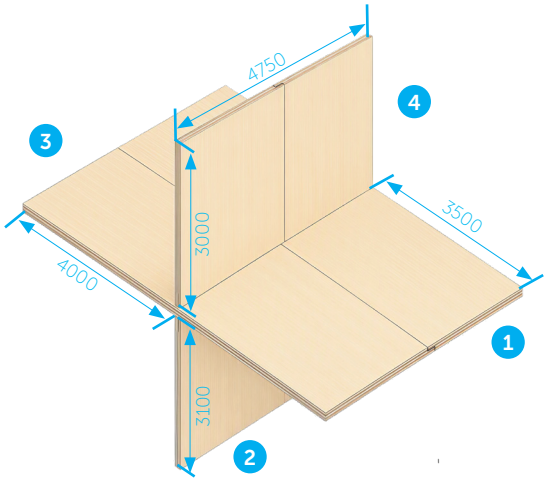
Ce système peut être combiné à des solutions de fixation résilientes telles que Straviwood WallBracket afin d'améliorer la reprise d'efforts latéraux et/ou verticaux du mur désolidarisé. Pour les données de performances acoustiques de la combinaison Straviwood WallBreak-P et Straviwood WallBracket, veuillez vous référer à la fiche technique Straviwood WallBracket.

Version 2 | 18/11/2026 - Toutes les informations contenues dans ce document sont soumises à des clauses de non-responsabilité légale. © CDM Stravitec sa 2026. Tous droits réservés.

## RÉSULTATS ACOUSTIQUES

### JONCTION EN X

Configuration d'essai :
Mur supérieur : CLT 5 plis de 100 mm (l 4.75 m x h 3 m)
Mur inférieur : CLT 5 plis de 100 mm (l 4.75 m x h 3.1 m)
Dalle : CLT 5 plis de 140 mm (l 4.75 m x L 7.5 m)

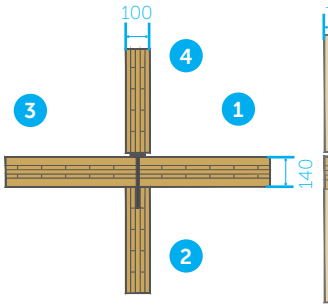



Système de fixation :
Murs et dalles en 2 panneaux assemblés par un joint mi-bois avec des vis espacées de 250 mm.
Dalles fixées au mur inférieur avec des vis à tête large Ø8 x 240 mm espacées de 500 mm.

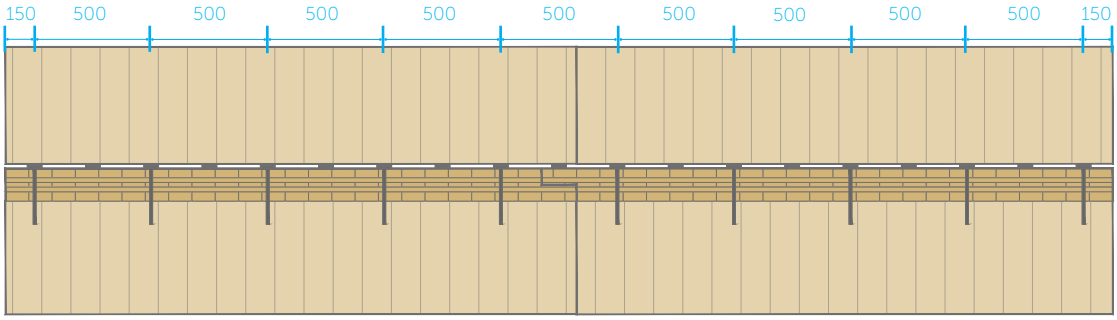
Couche de désolidarisation :
Straviwood WallBreak-P
Position: entre le mur supérieur et la dalle
Dimensions : plots de 63 x 63 x 20 mm, placés tous les 250 mm
Type : isolateurs discrets

Charge appliquée :
Cas non chargé (poids propre du mur supérieur) = 0.084 MPa
Cas chargé (pour les plots résilients) = 1.125 MPa (75% Charge ELS)
Cas chargé (pour la jonction nue) = 0.138 MPa (charge à laquelle les résultats de la jonction nue convergent)

VUE LATÉRALE



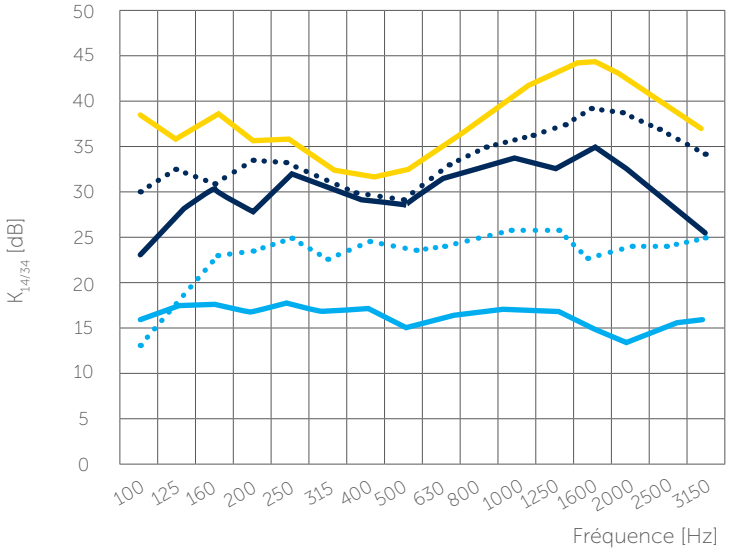

VUE DE FACE




Toutes les dimensions sont en mm.

### $K_{14}/K_{34}$: Chemin du du mur supérieur vers la dalle

| Fréquence [Hz] | Jonction nue non chargée [dB] | Jonction nue chargée [dB] | Jonction résiliente non chargée [dB] | Jonction résiliente chargée [dB] |
|---|---|---|---|---|
| 100 | 13.2 | 16.1 | 30.2 | 23.3 |
| 125 | 17.9 | 17.6 | 32.6 | 28.3 |
| 160 | 23.4 | 18.1 | 31.0 | 30.5 |
| 200 | 23.4 | 16.8 | 33.8 | 28.1 |
| 250 | 25.1 | 17.9 | 33.7 | 32.2 |
| 315 | 22.8 | 17.3 | 30.9 | 30.9 |
| 400 | 24.4 | 17.5 | 29.4 | 29.6 |
| 500 | 24.0 | 15.5 | 29.5 | 28.9 |
| 630 | 24.1 | 16.9 | 32.8 | 32.0 |
| 800 | 25.0 | 17.3 | 34.8 | 33.0 |
| 1000 | 25.7 | 17.6 | 36.1 | 34.1 |
| 1250 | 25.8 | 17.1 | 37.3 | 33.0 |
| 1600 | 22.8 | 14.8 | 39.7 | 34.8 |
| 2000 | 23.8 | 13.9 | 38.8 | 32.9 |
| 2500 | 24.2 | 15.3 | 37.1 | 29.3 |
| 3150 | 25.2 | 16.2 | 34.4 | 25.7 |
| $\overline{K_{14}/K_{34}}$ | 24.5 | 17.1 | 33.1 | 31.3 |

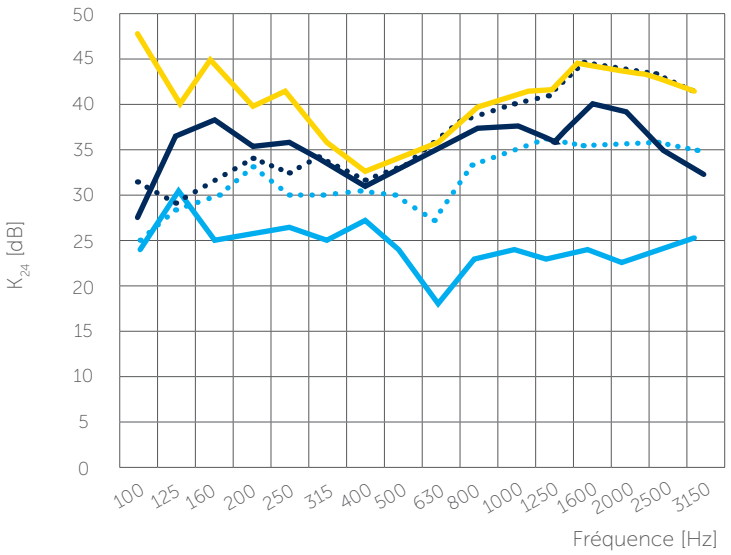



Jonction nue non chargée · Jonction nue chargée · Jonction résiliente non chargée · Jonction résiliente chargée · $K_{14/34,max}$

Version 2 | 18/11/2026 - Toutes les informations contenues dans ce document sont soumises à des clauses de non-responsabilité légale. © CDM Stravitec sa 2026. Tous droits réservés.

## $K_{24}$: Chemin du mur supérieur vers le mur inférieur

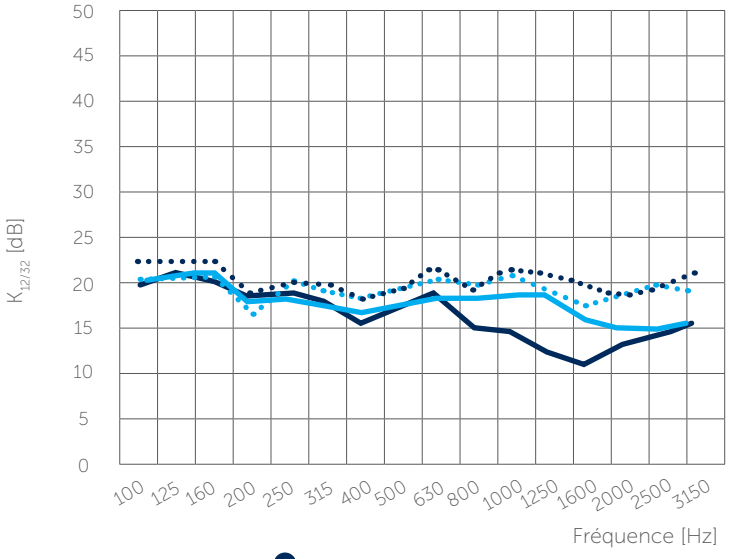
| Fréquence [Hz] | Jonction nue non chargée [dB] | Jonction nue chargée [dB] | Jonction résiliente non chargée [dB] | Jonction résiliente chargée [dB] |
|---|---|---|---|---|
| 100 | 24.9 | 23.8 | 31.3 | 27.7 |
| 125 | 28.2 | 30.7 | 28.8 | 36.0 |
| 160 | 29.8 | 25.2 | 31.0 | 38.2 |
| 200 | 33.1 | 25.7 | 33.9 | 35.4 |
| 250 | 30.2 | 26.6 | 32.4 | 35.9 |
| 315 | 29.6 | 25.2 | 33.9 | 33.8 |
| 400 | 30.3 | 26.8 | 31.6 | 30.9 |
| 500 | 29.9 | 24.2 | 32.6 | 33.4 |
| 630 | 27.0 | 17.9 | 35.9 | 35.8 |
| 800 | 33.5 | 22.9 | 38.8 | 37.5 |
| 1000 | 35.1 | 23.7 | 40.1 | 37.6 |
| 1250 | 36.3 | 23.2 | 41.0 | 36.1 |
| 1600 | 35.4 | 23.8 | 44.5 | 40.0 |
| 2000 | 35.7 | 22.5 | 43.7 | 39.0 |
| 2500 | 35.6 | 24.0 | 42.9 | 34.8 |
| 3150 | 34.6 | 25.3 | 41.4 | 32.5 |
| $\overline{K_{24}}$ | 31.7 | 24.0 | 35.6 | 35.2 |




Jonction nue non chargée · Jonction nue chargée · Jonction résiliente non chargée · Jonction résiliente chargée · $K_{24,max}$

## $K_{12}/K_{32}$: Chemin de la dalle vers le mur inférieur

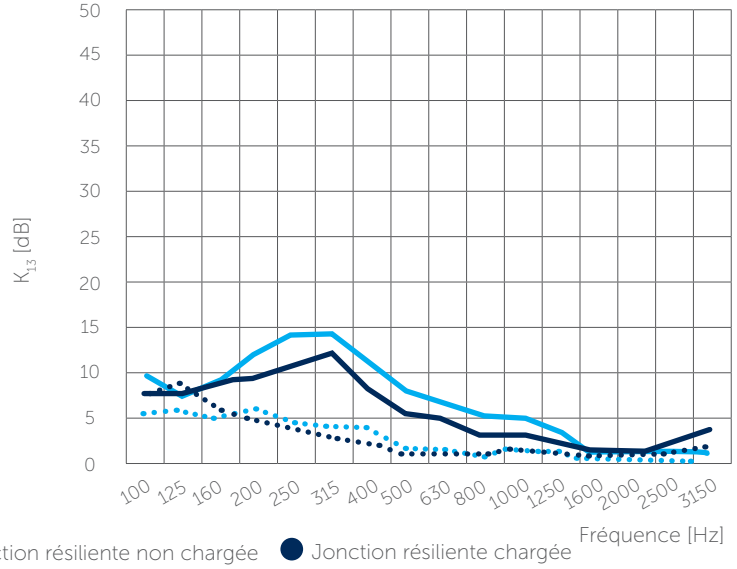
| Fréquence [Hz] | Jonction nue non chargée [dB] | Jonction nue chargée [dB] | Jonction résiliente non chargée [dB] | Jonction résiliente chargée [dB] |
|---|---|---|---|---|
| 100 | 19.7 | 19.1 | 21.8 | 19.0 |
| 125 | 19.6 | 20.5 | 21.9 | 20.6 |
| 160 | 20.0 | 20.6 | 21.7 | 19.6 |
| 200 | 15.5 | 17.3 | 17.6 | 17.9 |
| 250 | 19.6 | 17.4 | 19.4 | 18.1 |
| 315 | 18.4 | 16.5 | 19.2 | 17.1 |
| 400 | 17.7 | 15.9 | 17.2 | 14.8 |
| 500 | 18.5 | 16.7 | 18.6 | 16.3 |
| 630 | 19.5 | 18.0 | 21.3 | 18.1 |
| 800 | 19.1 | 17.7 | 18.4 | 14.4 |
| 1000 | 20.2 | 18.1 | 20.9 | 13.8 |
| 1250 | 18.6 | 17.7 | 20.2 | 11.5 |
| 1600 | 16.8 | 15.4 | 19.2 | 10.2 |
| 2000 | 18.0 | 14.2 | 18.2 | 12.3 |
| 2500 | 19.0 | 14.2 | 18.4 | 13.3 |
| 3150 | 18.3 | 14.9 | 20.4 | 14.8 |
| $\overline{K_{12}}/\overline{K_{32}}$ | 18.6 | 17.3 | 19.2 | 15.8 |




Jonction nue non chargée · Jonction nue chargée · Jonction résiliente non chargée · Jonction résiliente chargée

## $K_{13}$: Chemin de dalle à dalle

| Fréquence [Hz] | Jonction nue non chargée [dB] | Jonction nue chargée [dB] | Jonction résiliente non chargée [dB] | Jonction résiliente chargée [dB] |
|---|---|---|---|---|
| 100 | 5.7 | 10.0 | 7.8 | 8.0 |
| 125 | 6.1 | 7.6 | 9.0 | 7.8 |
| 160 | 5.5 | 9.6 | 6.2 | 9.3 |
| 200 | 6.7 | 12.4 | 5.3 | 9.6 |
| 250 | 4.7 | 14.0 | 3.9 | 11.3 |
| 315 | 4.3 | 14.4 | 3.1 | 12.4 |
| 400 | 3.7 | 11.0 | 2.7 | 8.4 |
| 500 | 2.0 | 8.5 | 1.5 | 5.9 |
| 630 | 1.8 | 7.2 | 1.4 | 5.1 |
| 800 | 1.5 | 5.9 | 1.2 | 3.3 |
| 1000 | 1.9 | 5.1 | 1.8 | 3.5 |
| 1250 | 1.6 | 3.8 | 1.5 | 2.8 |
| 1600 | 0.0 | 1.0 | 0.6 | 1.6 |
| 2000 | -0.5 | 1.3 | 0.8 | 1.1 |
| 2500 | 0.4 | 1.3 | 1.8 | 2.5 |
| 3150 | 0.2 | 1.1 | 2.4 | 3.7 |
| $\overline{K_{13}}$ | 3.1 | 9.1 | 2.5 | 6.9 |




Jonction nue non chargée · Jonction nue chargée · Jonction résiliente non chargée · Jonction résiliente chargée

Version 2 | 18/11/2026 - Toutes les informations contenues dans ce document sont soumises à des clauses de non-responsabilité légale. © CDM Stravitec sa 2026. Tous droits réservés.

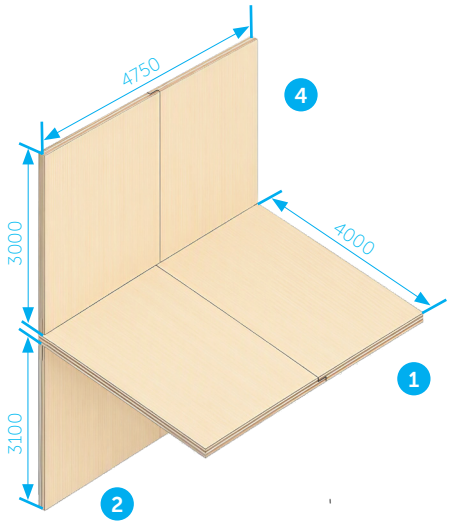
## JONCTION EN T VERTICALE

Configuration d'essai :
Mur supérieur : CLT 5 plis de 100 mm (l 4.75 m x H 3 m)
Mur inférieur : CLT 5 plis de 100 mm (l 4.75 m x H 3.1 m)
Dalle : CLT 5 plis de 140 mm (l 4.75 m x L 4 m)

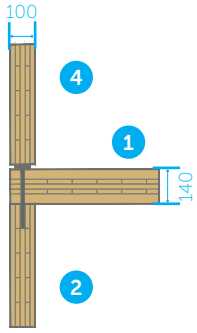
Système de fixation :
Murs et dalles en 2 panneaux assemblés par joint mi-bois avec des vis espacées de 250 mm
Les dalles sont fixées au mur inférieur avec des vis à tête large Ø8 x 240 mm espacées de 500 mm

Couche de désolidarisation :
Straviwood WallBreak-P
Position : entre le mur supérieur et la dalle
Dimensions : plots de 63 x 63 x 20 mm, placés tous les 250 mm
Type : isolateurs discrets

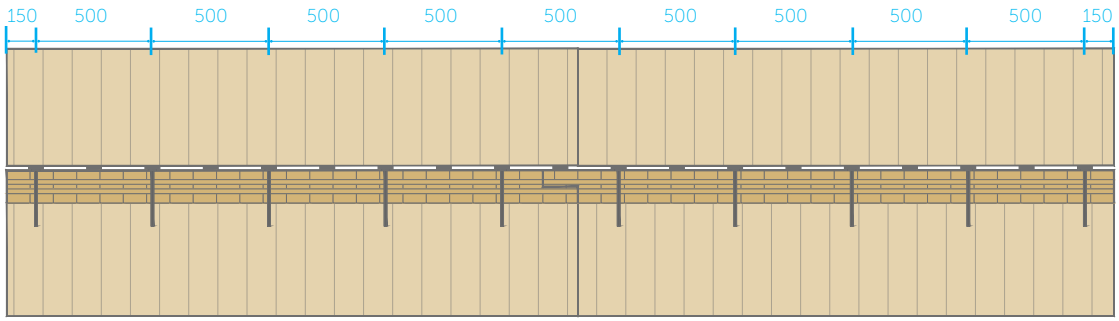
Charge appliquée :
Cas non chargé (poids propre du mur supérieur) = 0.084 MPa
Cas chargé (pour les plots résilients) = 1.125 MPa (75 % Charge ELS)
Cas chargé (pour la jonction nue) = 0.138 MPa (charge à laquelle les résultats de la jonction nue convergent)




## VUE LATÉRALE



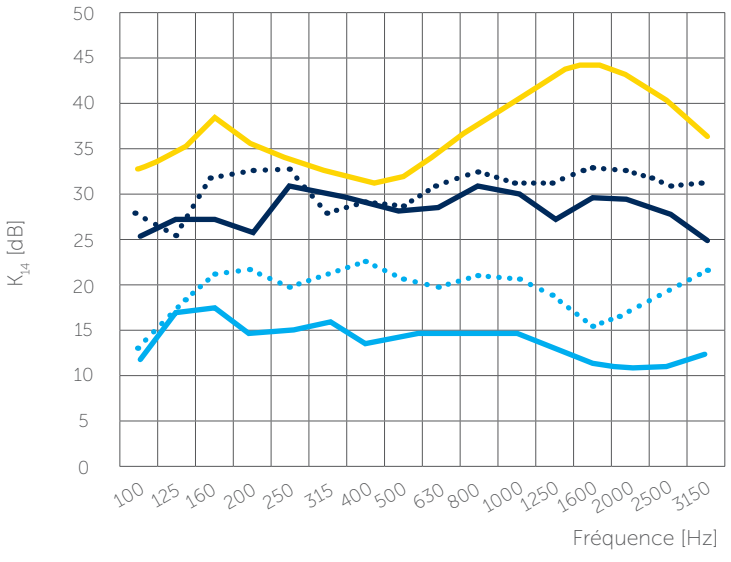

## VUE DE FACE




Toutes les dimensions sont en mm.

## $K_{14}$: Chemin du mur supérieur vers la dalle

| Fréquence [Hz] | Jonction nue non chargée [dB] | Jonction nue chargée [dB] | Jonction résiliente non chargée [dB] | Jonction résiliente chargée [dB] |
|---|---|---|---|---|
| 100 | 12.7 | 11.4 | 27.0 | 25.0 |
| 125 | 17.4 | 16.7 | 25.0 | 26.9 |
| 160 | 20.8 | 17.1 | 31.8 | 27.0 |
| 200 | 21.3 | 14.4 | 32.6 | 25.1 |
| 250 | 19.8 | 14.4 | 32.3 | 30.7 |
| 315 | 20.7 | 15.4 | 27.6 | 29.6 |
| 400 | 22.3 | 13.4 | 29.3 | 29.1 |
| 500 | 20.2 | 14.0 | 28.5 | 27.7 |
| 630 | 19.6 | 14.3 | 31.1 | 28.3 |
| 800 | 20.7 | 14.3 | 32.4 | 30.3 |
| 1000 | 20.1 | 14.2 | 31.4 | 29.8 |
| 1250 | 18.1 | 12.1 | 31.4 | 27.2 |
| 1600 | 15.1 | 10.8 | 33.1 | 29.5 |
| 2000 | 16.3 | 9.9 | 32.4 | 29.3 |
| 2500 | 19.3 | 10.8 | 31.2 | 27.9 |
| 3150 | 21.4 | 12.0 | 30.9 | 24.7 |
| $\overline{K_{14}}$ | 20.3 | 14.1 | 30.7 | 28.6 |

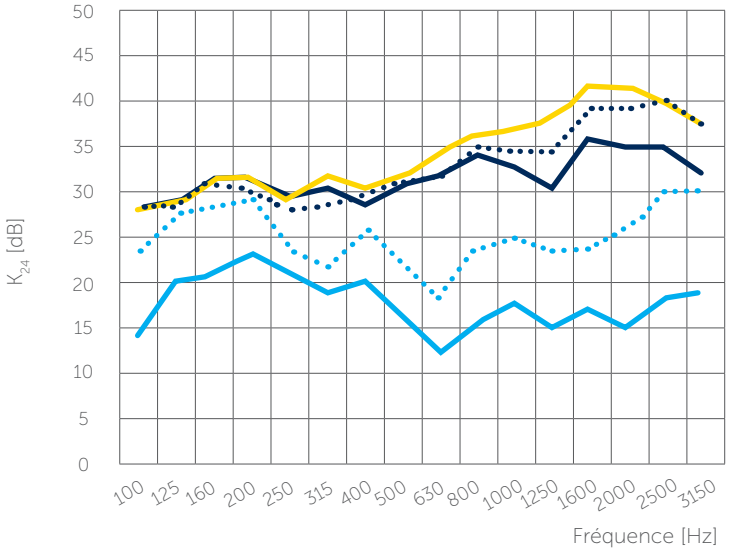



Jonction nue non chargée · Jonction nue chargée · Jonction résiliente non chargée · Jonction résiliente chargée · $K_{14,max}$

Version 2 | 18/11/2026 - Toutes les informations contenues dans ce document sont soumises à des clauses de non-responsabilité légale. © CDM Stravitec sa 2026. Tous droits réservés.

## $K_{24}$: Chemin du mur supérieur vers le mur inférieur

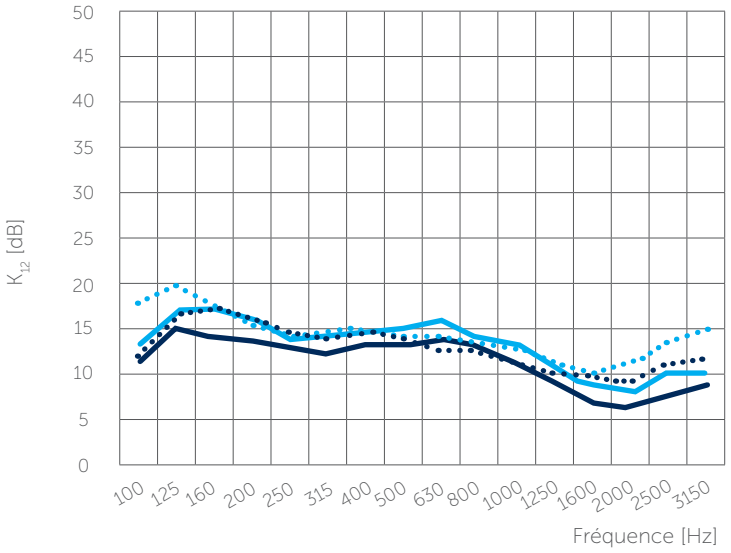
| Fréquence [Hz] | Jonction nue non chargée [dB] | Jonction nue chargée [dB] | Jonction résiliente non chargée [dB] | Jonction résiliente chargée [dB] |
|---|---|---|---|---|
| 100 | 23.5 | 13.8 | 28.1 | 28.0 |
| 125 | 27.5 | 19.9 | 28.3 | 29.2 |
| 160 | 28.3 | 20.9 | 31.3 | 31.3 |
| 200 | 28.9 | 23.0 | 30.0 | 31.0 |
| 250 | 23.3 | 20.9 | 28.1 | 29.4 |
| 315 | 21.7 | 19.1 | 28.6 | 30.4 |
| 400 | 25.8 | 20.2 | 29.4 | 28.6 |
| 500 | 22.0 | 15.9 | 30.9 | 30.9 |
| 630 | 18.2 | 12.2 | 31.9 | 31.6 |
| 800 | 23.4 | 15.5 | 34.9 | 33.9 |
| 1000 | 24.8 | 17.7 | 34.3 | 32.9 |
| 1250 | 23.2 | 15.1 | 34.4 | 30.1 |
| 1600 | 23.9 | 16.8 | 39.3 | 36.0 |
| 2000 | 26.1 | 15.2 | 39.2 | 34.9 |
| 2500 | 30.0 | 18.2 | 39.9 | 35.3 |
| 3150 | 30.3 | 19.1 | 37.3 | 32.0 |
| $\overline{K_{24}}$ | 23.5 | 17.7 | 31.4 | 31.0 |




Jonction nue non chargée · Jonction nue chargée · Jonction résiliente non chargée · Jonction résiliente chargée · $K_{24,max}$

## $K_{12}$: Chemin de la dalle vers le mur inférieur

| Fréquence [Hz] | Jonction nue non chargée [dB] | Jonction nue chargée [dB] | Jonction résiliente non chargée [dB] | Jonction résiliente chargée [dB] |
|---|---|---|---|---|
| 100 | 17.5 | 12.4 | 11.7 | 11.1 |
| 125 | 19.4 | 16.8 | 16.0 | 14.7 |
| 160 | 17.1 | 16.8 | 17.1 | 13.9 |
| 200 | 15.3 | 15.5 | 15.9 | 13.6 |
| 250 | 14.0 | 13.6 | 14.2 | 12.8 |
| 315 | 14.4 | 14.0 | 13.5 | 12.0 |
| 400 | 14.7 | 14.1 | 14.2 | 12.7 |
| 500 | 14.1 | 14.8 | 13.5 | 12.6 |
| 630 | 13.7 | 15.2 | 12.2 | 13.5 |
| 800 | 13.4 | 13.4 | 11.9 | 12.4 |
| 1000 | 12.8 | 12.8 | 11.0 | 11.1 |
| 1250 | 10.9 | 10.3 | 9.6 | 8.1 |
| 1600 | 9.8 | 8.4 | 9.2 | 6.4 |
| 2000 | 10.8 | 7.7 | 8.6 | 5.9 |
| 2500 | 13.1 | 9.8 | 10.8 | 7.0 |
| 3150 | 14.6 | 9.9 | 11.2 | 8.3 |
| $\overline{K_{12}}$ | 13.7 | 13.7 | 12.9 | 12.1 |



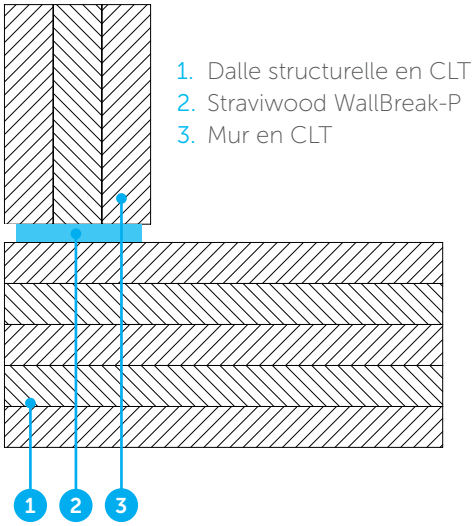

Jonction nue non chargée · Jonction nue chargée · Jonction résiliente non chargée · Jonction résiliente chargée

Remarques :

- Les résultats pour d'autres variantes sont disponibles sur demande.
- Le chemin aérien parasite a été traité avec un écran en laine minérale. Ce chemin aérien parasite fixe la limite supérieure de mesure expérimentale de $K_{ij}$ et est quantifié par les valeurs $K_{ij,max}$ mesurées dans la configuration où il n'y a aucun contact structurel entre les éléments i et j.
- $\overline{K_{ij}}$ est la moyenne arithmétique des valeurs $K_{ij}$ dans la plage de fréquences de 200 à 1250 Hz (bandes de tiers d'octave).
- En raison de légères variations de mesure, lorsqu'une valeur $K_{ij}$ était supérieure à la valeur $K_{ij,max}$, cette valeur $K_{ij}$ a été limitée à la valeur $K_{ij,max}$.

Version 2 | 18/11/2026 - Toutes les informations contenues dans ce document sont soumises à des clauses de non-responsabilité légale. © CDM Stravitec sa 2026. Tous droits réservés.

## MONTAGE TYPE




1. Dalle structurelle en CLT
2. Straviwood WallBreak-P
3. Mur en CLT

Version 2 | 18/11/2026 - Toutes les informations contenues dans ce document sont soumises à des clauses de non-responsabilité légale. © CDM Stravitec sa 2026. Tous droits réservés.

## CLAUSE DE NON-RESPONSABILITÉ

Les présentes informations sont, à notre connaissance, exactes au moment de leur publication. Les informations, données et recommandations fournies sont basées sur des essais acceptés par l'industrie et sur l'utilisation antérieure du produit. Elles sont destinées à décrire les capacités et les performances générales de nos produits et ne garantissent aucunement leur adéquation à un projet particulier. Nous nous réservons le droit de modifier les produits, leur performance et les données sans préavis. Ce document remplace toutes les informations fournies avant sa publication.

REUTENBEEK 9-11, 3090 OVERIJSE, BELGIQUE
T +32 2 687 79 07 / INFO@CDM-STRAVITEC.COM / WWW.CDM-STRAVITEC.COM